

ПРОТОКОЛ ИСПЫТАНИЙ НА СООТВЕТСТВИЕ ТРЕБОВАНИЯМ

ГОСТ 15150-69: М1,УХЛ 1

Протокол №..... : 502-09/12-В

Дата..... : 18.09.2019

Утвержден (+ подпись)..... : С.П. Павлов

Испытан (+ подпись)..... : А.О. Голубев



М.П.

Испытательный центр..... : Испытательная лаборатория «ВЕЛЕС»
Общества с ограниченной ответственностью
«Центр Сертификации «ВЕЛЕС»

Адрес..... : 195009, город Санкт-Петербург, ул. Академика Лебедева, д. 12, корп. 2, лит. А, этаж 2, комн. 26

Аттестат аккредитации..... : № РОСС RU.31485.04ИДЮ0.006

Срок действия..... : до 26.08.2023 г.

Место проведения испытаний..... : 195009, город Санкт-Петербург, ул. Академика Лебедева, д. 12, корп. 2, лит. А, этаж 2, комн. 26

Вид испытаний : Сертификационные испытания

Заказчик : ООО «Дефенс-Рус»

Адрес..... : 620141, г. Екатеринбург, ул. Армавирская, д.28

Стандарт..... : ГОСТ 15150 Климатическое исполнение М 1,УХЛ 1

Испытательная процедура..... : Моделирование климатического воздействия

Тип объекта испытаний..... : ограждения панельные решётчатые металлические

Торговая марка :

Тип/модель..... :

Изготовитель : ООО «Дефенс-Рус»

Адрес : 620141, г. Екатеринбург, ул. Армавирская, д.28

Примечания:

В этом протоколе в качестве десятичного разделения используется запятая.

Не допускается частичная перепечатка или копирование протокола без разрешения испытательной лаборатории.

Заключение

Ограждения панельные решётчатые металлические выпускаемые изготовителем ООО «Дефенс-Рус», соответствует:

Требованиям предъявляемым к оборудованию класса М1,УХЛ1, ГОСТ 15150-69 «Машины, приборы и другие технические изделия. Исполнения для различных климатических районов. Категории, условия эксплуатации, хранения и транспортирования в части воздействия климатических факторов внешней среды»:

Исполнитель



Приложение №1

к протоколу № 502-09/12-В

Испытание на климатическое воздействие

Ограждения панельные решётчатые металлические



Содержание

| | | |
|-----|--|----|
| 1. | Общие сведения | 3 |
| 2. | Нагрузки и воздействия, действующие на ограждение..... | 4 |
| 3. | Методика расчета | 4 |
| 4. | Расчет ограждения | 8 |
| 4.1 | Анализ отрицательного климатического воздействия (-70 $^{\circ}$ C) на ограждения: | 8 |
| 4.2 | Анализ положительного климатического воздействия (+45 $^{\circ}$ C) на ограждения:..... | 12 |
| 5. | ОБЩИЕ ВЫВОДЫ..... | 16 |



1. Общие сведения

Испытание на климатическое воздействие Ограждения панельные решётчатые металлические (далее ограждения) выполнено на основании технической документации, ГОСТ 15150-69 «Машины, приборы и другие технические изделия. Исполнения для различных климатических районов. Категории, условия эксплуатации, хранения и транспортирования в части воздействия климатических факторов внешней среды».

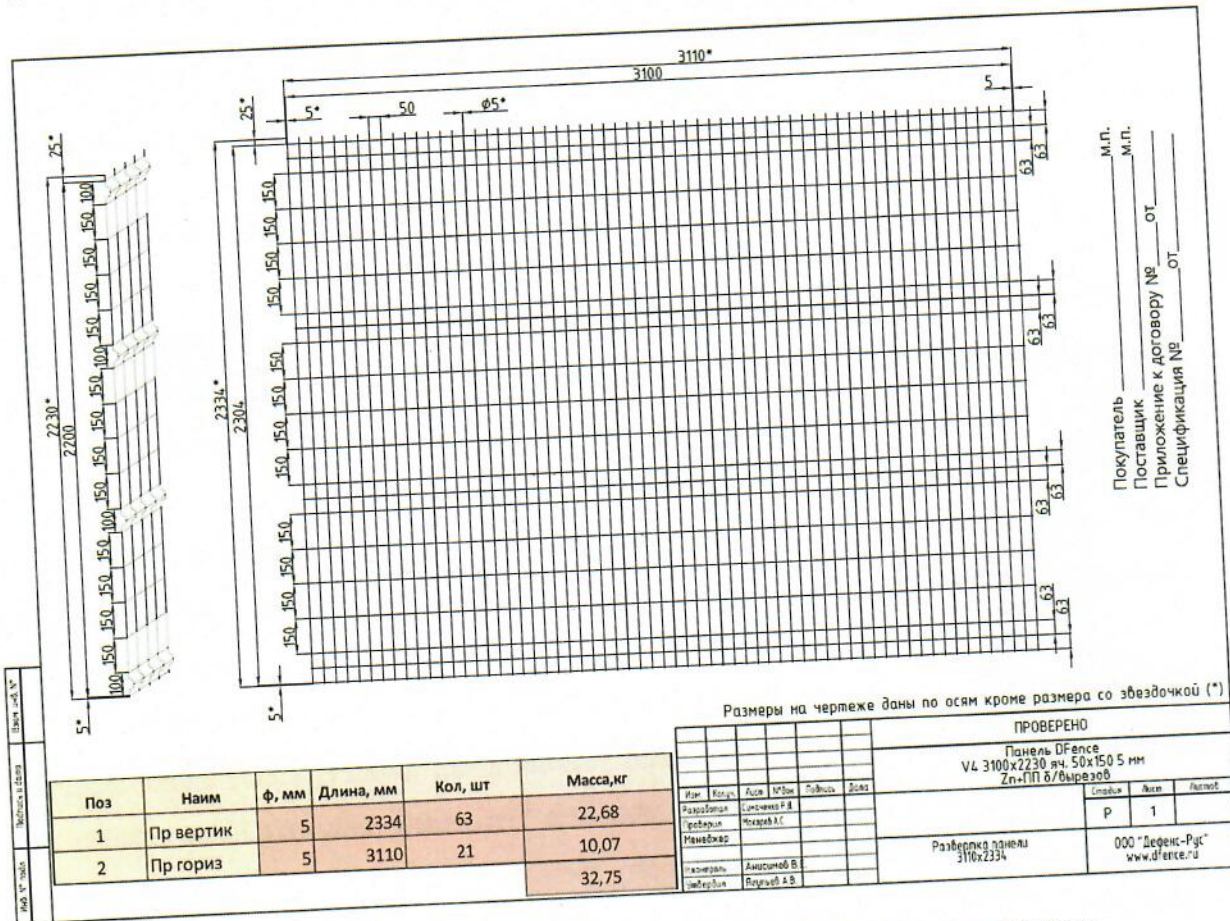


Рис. 1 Ограждения панельные решётчатые металлические



2. Нагрузки и воздействия, действующие на ограждение

На основании технической документации, был смоделирован участок ограждения со столбами и узлами крепления.

В качестве нагрузок были взяты следующие типы воздействий М1, УХЛ1

1. собственный вес с коэффициентом – 1,05;
2. отрицательное климатическое воздействие - 70 $^{\circ}\text{C}$;
3. положительное климатическое воздействие + 45 $^{\circ}\text{C}$;

3. Методика расчета

Расчет выполнен в ПО ANSYS — универсальная программная система конечно-элементного (МКЭ) анализа. ANSYS аттестован в РОСТЕХНАДЗОРЕ России, ISO-9000 series, especially ISO-9001 and ISO 9000-3, Российской академией архитектуры и строительных наук.

Расчет, выполняемый программой ANSYS, основан на классических инженерных представлениях и концепциях. При помощи численных методов эти концепции могут быть сформулированы в виде матричных уравнений, которые наиболее пригодны для конечно-элементных приложений.

Совокупность дискретных областей (элементов), связанных между собой в конечном числе точек (узлов), представляет собой математическую модель системы. Основными неизвестными являются степени свободы узлов конечно-элементной модели. К степеням свободы относятся перемещения, повороты, температуры, давления, скорости, потенциалы электрических или магнитных полей; их конкретное содержание определяется типом элемента, который связан с данным узлом. В соответствии со степенями свободы для каждого элемента модели формируются матрицы масс, жесткости (или теплопроводности) и сопротивления (или удельной теплоемкости). Эти матрицы приводят к системам совместных уравнений, которые обрабатываются так называемыми “решателями”.

Для материалов с линейными свойствами напряжения связаны с деформациями соотношением:

$$\{\sigma\} = [D] \{\varepsilon\}, \quad (1)$$

где $\{\sigma\} = [\sigma_x \ \sigma_y \ \sigma_z \ \sigma_{xy} \ \sigma_{yz} \ \sigma_{xz}]^T$ - вектор напряжений (как выходная величина помечается меткой S);



[D] – матрица упругости (описывается уравнениями (17) ... (22), обратная матрица записывается в виде (3) и (4);

$\{\varepsilon_{el}\} = \{\varepsilon\} - \{\varepsilon_{th}\}$ – выходной массив;

$\{\varepsilon\} = [\varepsilon_x \varepsilon_y \varepsilon_z \varepsilon_{xy} \varepsilon_{xz} \varepsilon_{yz}]^T$ – вектор полной (суммарной) деформации;

$\{\varepsilon_{th}\}$ – вектор температурной деформации.

Компоненты вектора напряжений показаны на Рисунке 2. Для используемых в программе ANSYS напряжений и деформаций принято следующее правило знаков: величины, относящиеся к растяжению являются положительными, к сжатию – отрицательными. Компоненты сдвига считаются положительными, если их направления совпадают с направлениями соответствующих координатных осей. Деформации сдвига представляют собой инженерные деформации, а не компоненты тензора.

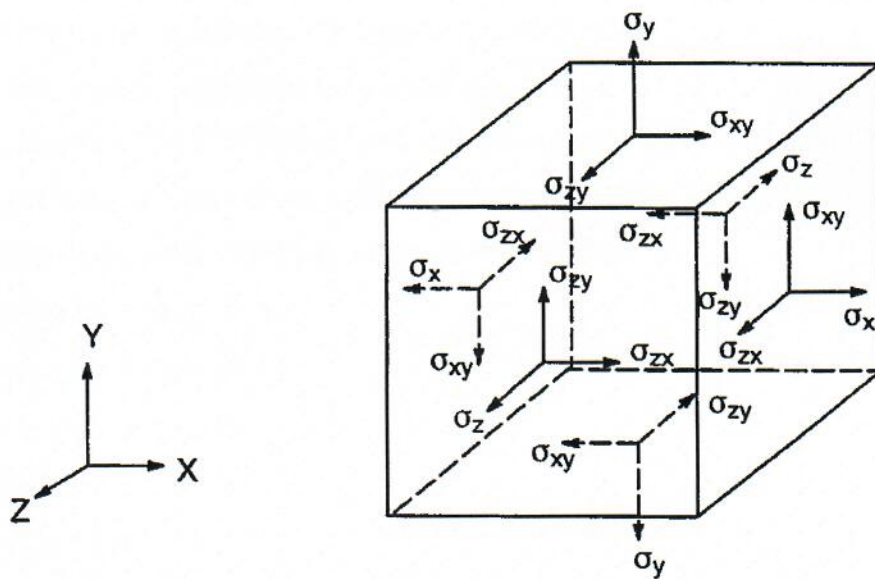


Рисунок 2.2 - Компоненты вектора напряжений

Уравнение (1) может быть обращено следующим образом:

$$\{\varepsilon\} = \{\varepsilon_{th}\} + [D]^{-1} \{\sigma\}. \quad (2)$$

Матрица $[D]^{-1}$, нормализованная по столбцам, имеет вид:

$$[D]^{-1} = \begin{vmatrix} 1/E_x & -v_{xy}/E_y & -v_{xz}/E_z & 0 & 0 & 0 \\ -v_{yx}/E_x & 1/E_y & -v_{yz}/E_z & 0 & 0 & 0 \\ -v_{zx}/E_x & -v_{zy}/E_y & 1/E_z & 0 & 0 & 0 \\ 0 & 0 & 0 & 1/G_x & 0 & 0 \end{vmatrix}$$



$$\begin{vmatrix} 0 & 0 & 0 & 0 & 1/G_y & 0 \\ 0 & 0 & 0 & 0 & 0 & 1/G_z \end{vmatrix}$$

При использовании нормализация по строкам, матрица записывается следующим образом:

$$[D]^{-1} = \begin{vmatrix} 1/E_x & -v^{*}x_y/E_y & -v^{*}x_z/E_z & 0 & 0 & 0 \\ -v^{*}y_x/E_x & 1/E_y & -v^{*}y_z/E_z & 0 & 0 & 0 \\ -v^{*}z_x/E_x & -v^{*}z_y/E_y & 1/E_z & 0 & 0 & 0 \\ 0 & 0 & 0 & 1/G_{xy} & 0 & 0 \\ 0 & 0 & 0 & 0 & 1/G_{yz} & 0 \\ 0 & 0 & 0 & 0 & 0 & 1/G_{zx} \end{vmatrix} \quad (4)$$

Для записи элементов этих матриц используются обозначения:

E_x – модуль Юнга в направлении оси x ,

v_{xy} – минимальный коэффициент Пуассона,

$v^{*}x_y$ – максимальный коэффициент Пуассона,

G_{xy} – модуль сдвига в плоскости $x-y$.

Матрица $[D]^{-1}$ должна быть положительно определенной. Кроме того, эта матрица должна быть симметричной, поэтому для ортотропных материалов предполагается существование соотношений:

$$v_{yx} / E_x = v_{xy} / E_y \quad (5)$$

$$v_{zx} / E_x = v_{xz} / E_z \quad (6)$$

$$v_{zy} / E_y = v_{yz} / E_z \quad (7)$$

или

$$v^{*}y_x / E_y = v^{*}x_y / E_x \quad (8)$$

$$v^{*}z_x / E_z = v^{*}x_z / E_x \quad (9)$$

$$v^{*}z_y / E_z = v^{*}y_z / E_y \quad (10)$$

Согласно приводимым выше соотношениям, величины v_{xy} , v_{zy} , v_{zx} , $v^{*}y_x$, $v^{*}z_y$ и $v^{*}z_x$ являются зависимыми и поэтому не задаются при вводе исходных данных.

Из равенства (2) в развернутом виде, используя выражения (3), а также (5) ... (7), получаем шесть уравнений:

$$\epsilon_x = \alpha_x \Delta T + \sigma_x / E_x - v_{xy} \sigma_y / E_y - v_{xz} \sigma_z / E_z$$



$$\epsilon_y = \alpha_y \Delta T + \sigma_y / E_y - v_{xy} \sigma_x / E_y - v_{yz} \sigma_z / E_z \quad (12)$$

$$\epsilon_z = \alpha_z \Delta T + \sigma_z / E_z - v_{xz} \sigma_x / E_z - v_{yz} \sigma_y / E_z \quad (13)$$

$$\epsilon_{xy} = \sigma_{xy} / G_{xy} \quad (14)$$

$$\epsilon_{yz} = \sigma_{yz} / G_{yz} \quad (15)$$

$$\epsilon_{xz} = \sigma_{xz} / G_{xz}, \quad (16)$$

где ϵ_x - деформация в направлении оси x,

ϵ_{xy} - деформация сдвига в плоскости x - y,

σ_x - напряжения в направлении оси x,

σ_{xy} - напряжения сдвига в плоскости x - y;

компоненты с другими индексами получаются циклическим сдвигом (x - y - z).

Уравнение (1) можно переписывать в развернутом виде, используя обратную матрицу (3), что вместе с уравнениями (5) ... (7) дает шесть соотношений для напряжений:

$$\begin{aligned} \sigma_x &= E_x/h [1 - (v_{yz})^2 E_y/E_z] (\epsilon_x - \alpha_x \Delta T) + E_x/h [v_{xy} + v_{xz}v_{yz} E_y/E_z] (\epsilon_y - \alpha_y \Delta T) + \\ &\quad E_x/h [v_{xz} + v_{yz}v_{xy}] (\epsilon_z - \alpha_z \Delta T) \end{aligned} \quad (17)$$

$$\begin{aligned} \sigma_y &= E_y/h [v_{xy} + v_{xz}v_{yz} E_z/E_x] (\epsilon_x - \alpha_x \Delta T) + E_y/h [1 - (v_{xz})^2 E_x/E_z] (\epsilon_y - \alpha_y \Delta T) + \\ &\quad E_y/h [v_{yz} + v_{xz}v_{xy} E_x/E_y] (\epsilon_z - \alpha_z \Delta T) \end{aligned} \quad (18)$$

$$\begin{aligned} \sigma_z &= E_z/h [v_{xz} + v_{yz}v_{xy}] (\epsilon_x - \alpha_x \Delta T) + E_y/h [v_{yz} + v_{xz}v_{xy} E_x/E_y] (\epsilon_y - \alpha_y \Delta T) + \\ &\quad E_z/h [1 - (v_{xy})^2 E_y/E_x] (\epsilon_z - \alpha_z \Delta T) \end{aligned} \quad (19)$$

$$\sigma_{xy} = G_{xy} \epsilon_{xy} \quad (20)$$

$$\sigma_{yz} = G_{yz} \epsilon_{yz} \quad (21)$$

$$\sigma_{xz} = G_{xz} \epsilon_{xz}, \quad (22)$$

в которых обозначено: $h = 1 - (v_{xy})^2 E_y/E_x - (v_{yz})^2 E_y/E_z - (v_{xz})^2 E_x/E_z - 2 v_{xy} v_{yz} v_{xz} E_x/E_z$.

Если модули сдвига G_{xy} , G_{yz} , G_{xz} не задаются при вводе, то их значения вычисляются следующим образом:

$$G_{xy} = (E_x E_y) / (E_x + E_y + 2 v_{xy} E_x) \quad (23)$$

$$G_{yz} = G_{xy} \quad (24)$$

$$G_{xz} = G_{xy} \quad (25)$$



4. Расчет ограждения

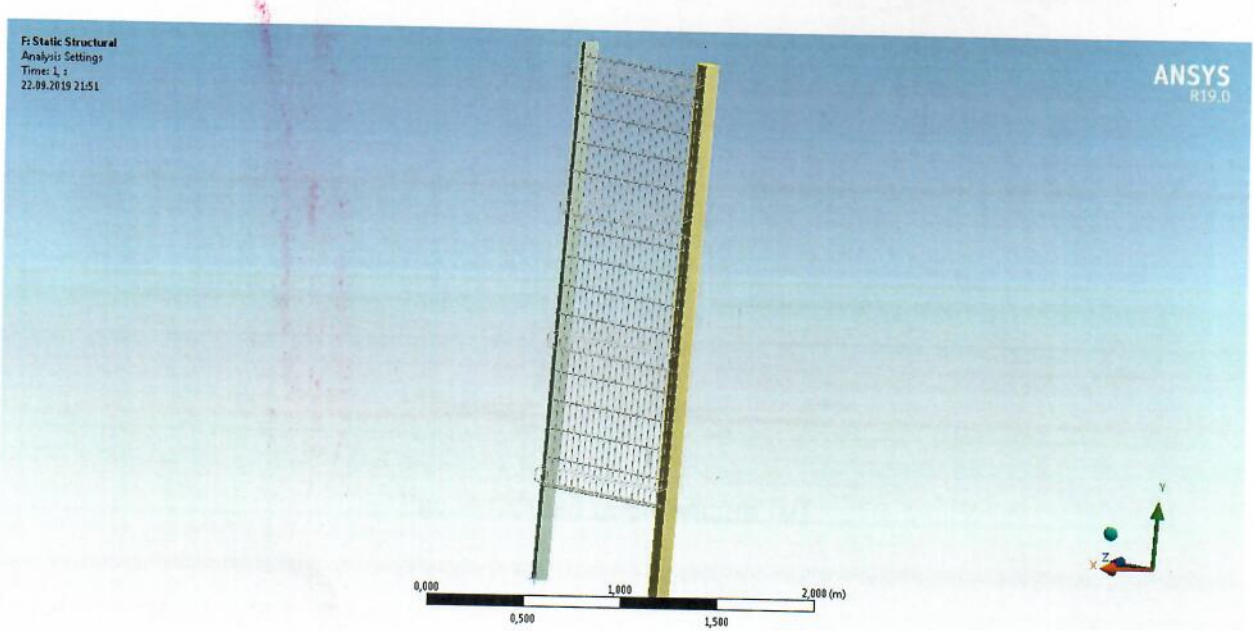


Рис. 2 Расчетная аппроксимированная модель

4.1 Анализ отрицательного климатического воздействия (-70 °C) на ограждения:

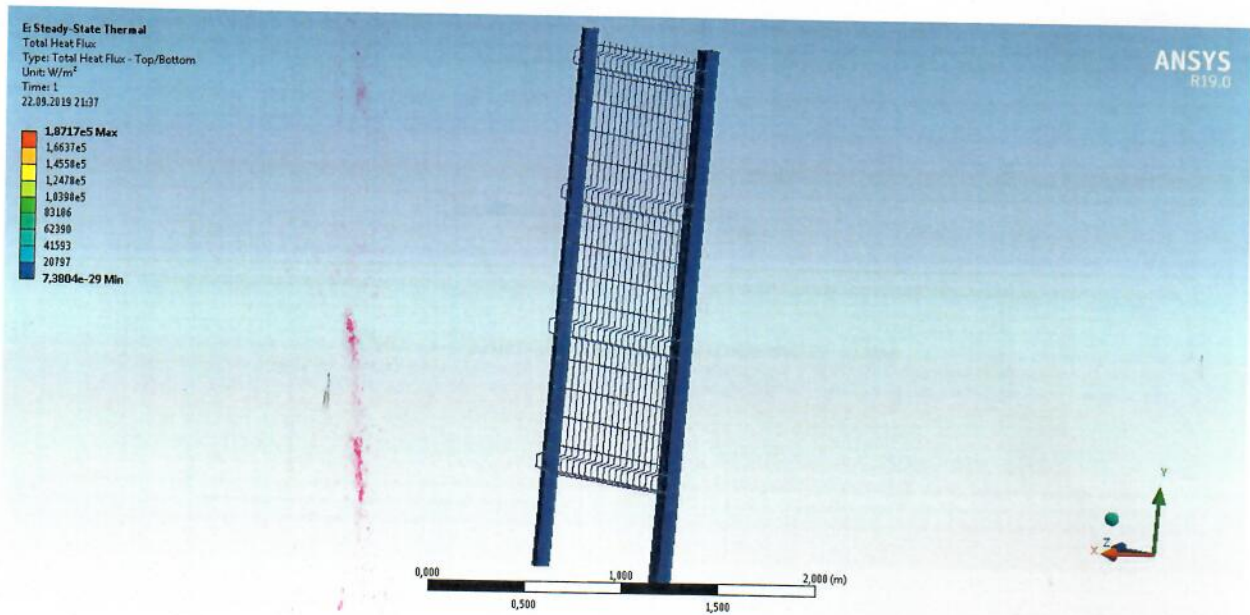


Рис. 3 Общий тепловой поток



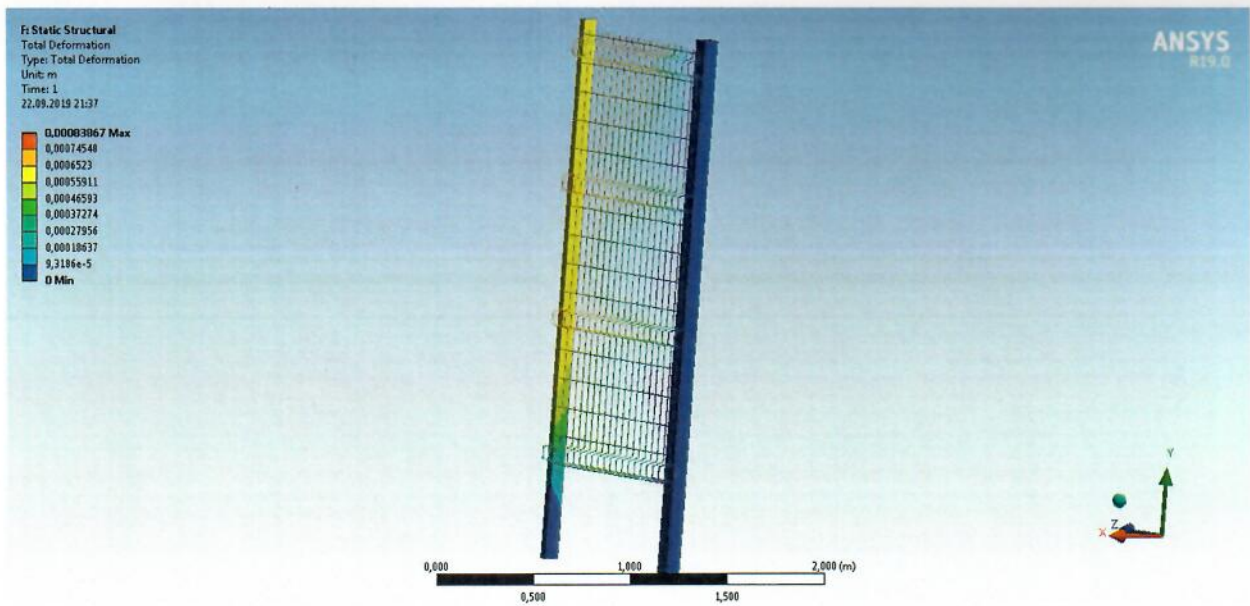


Рис. 4 Общие деформации [м]

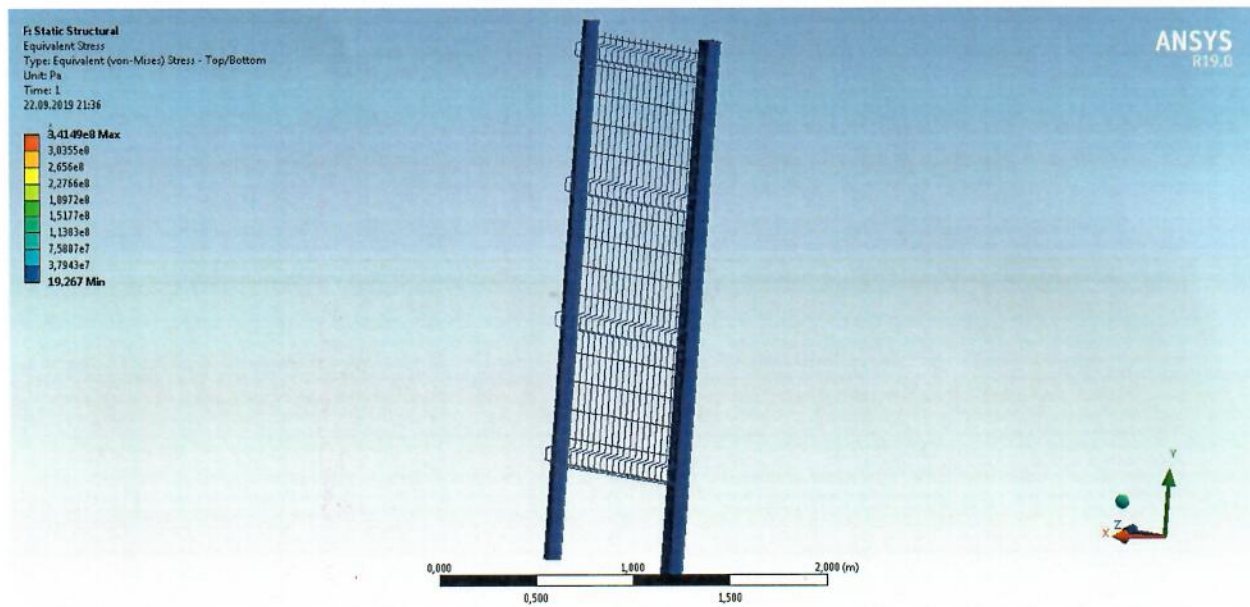


Рис. 5 Эквивалентные напряжения [Па]



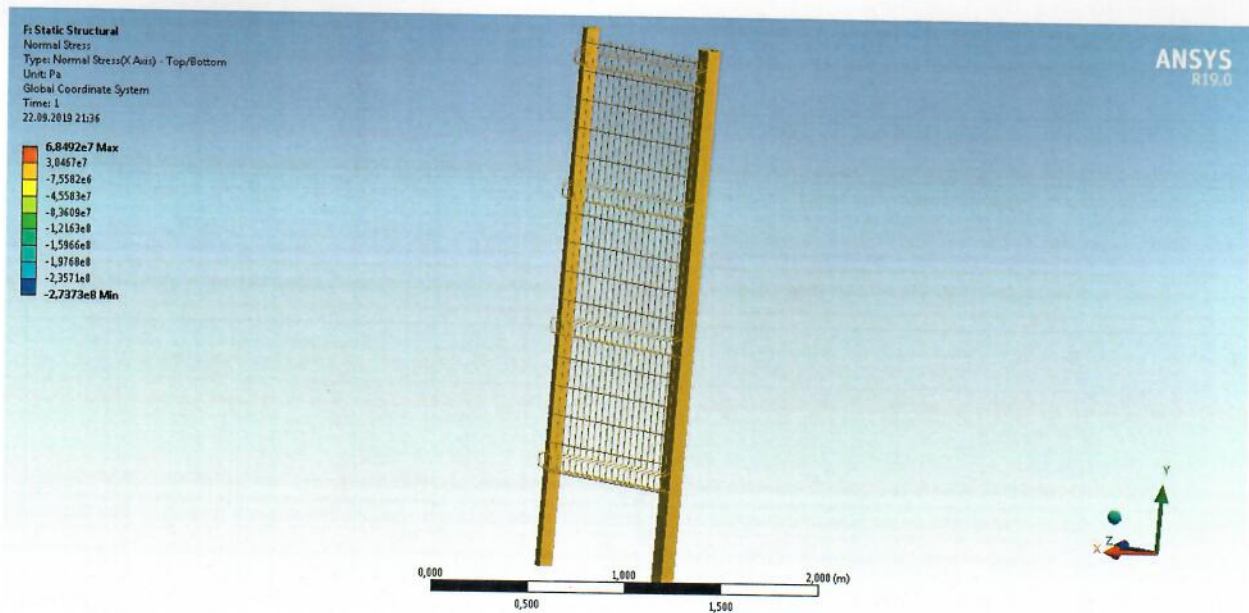


Рис. 6 Нормальные напряжения по X [Па]

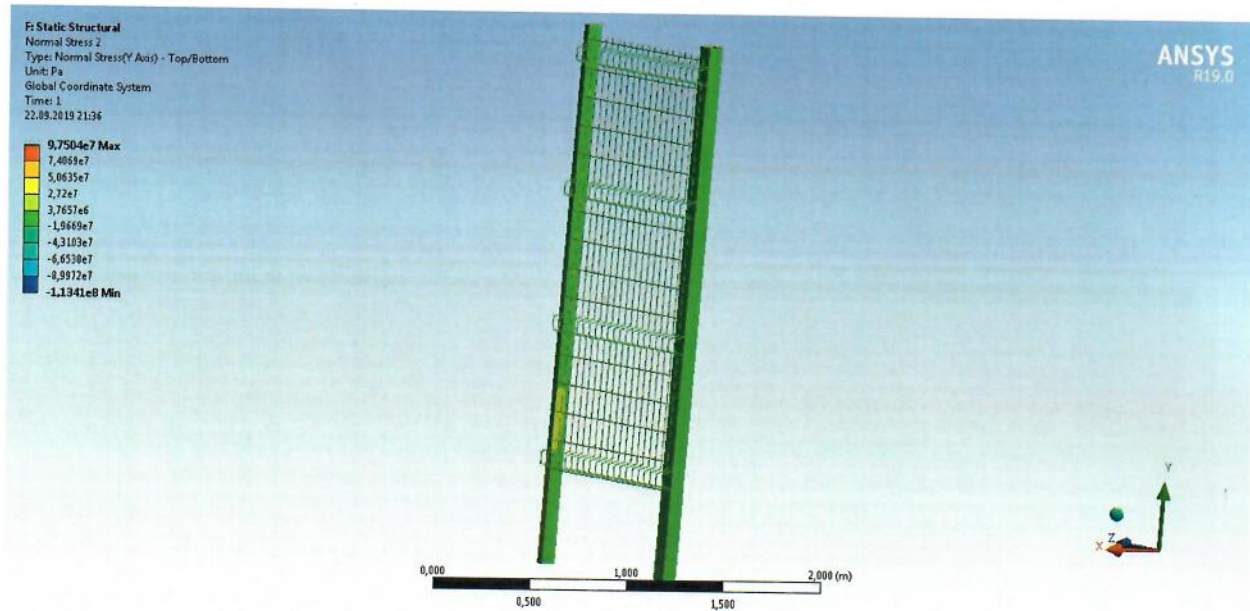


Рис. 7 Нормальные напряжения по Y [Па]

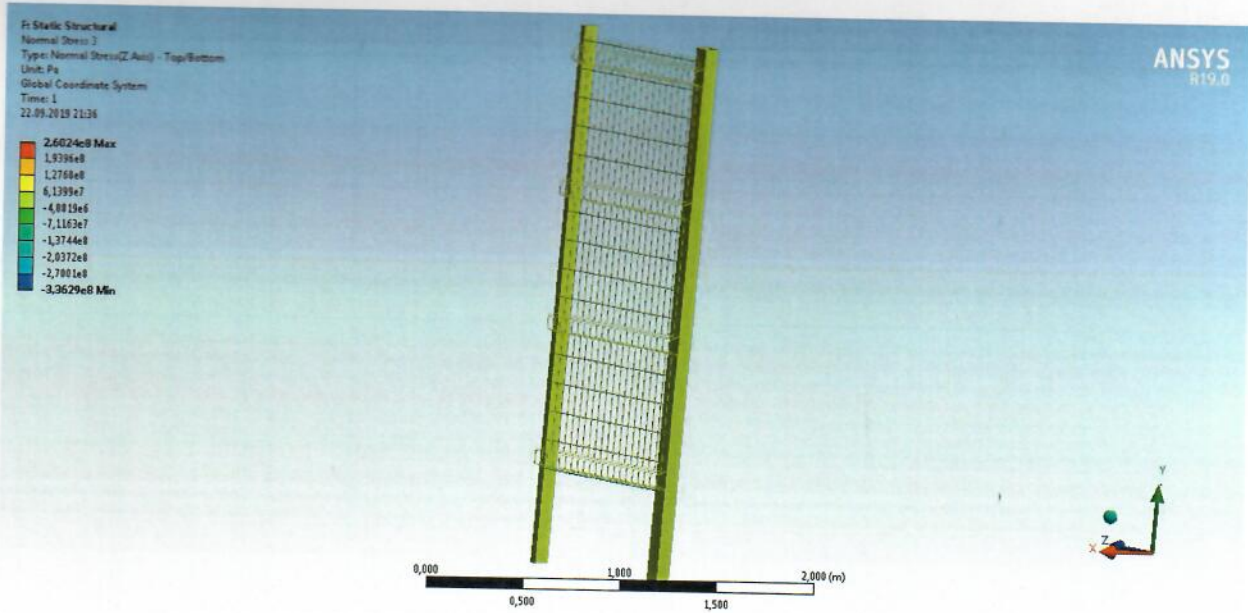


Рис. 8 Нормальные напряжения по Z [Па]

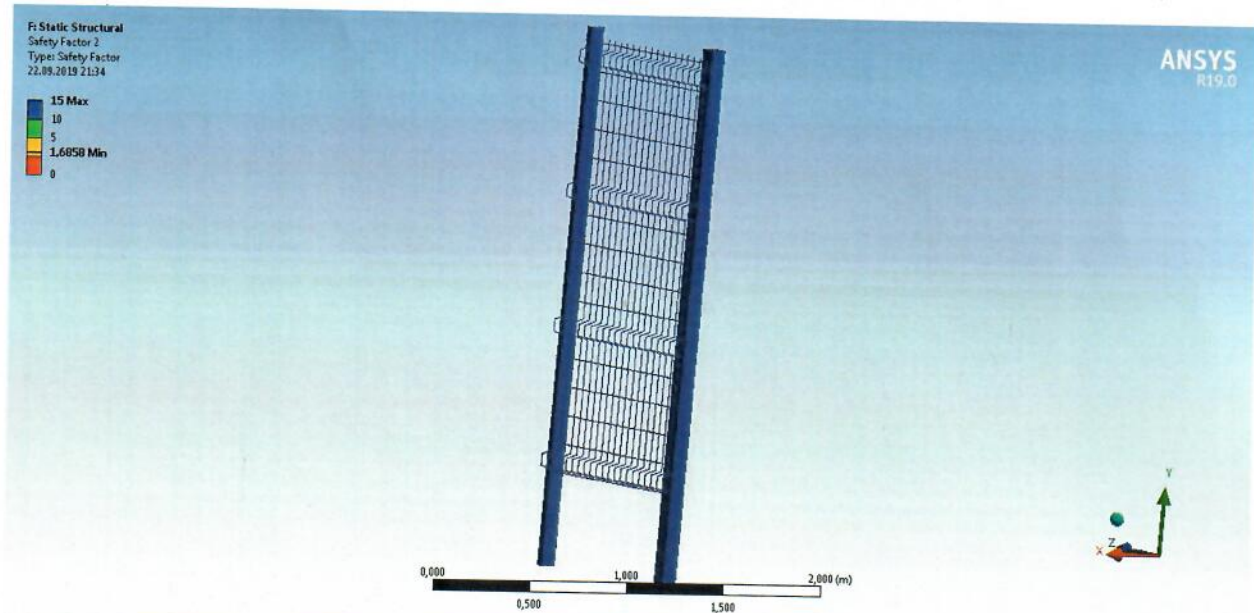


Рис. 9 Визуализация коэффициента запаса прочности

4.2 Анализ положительного климатического воздействия (+45 °C) на ограждения:

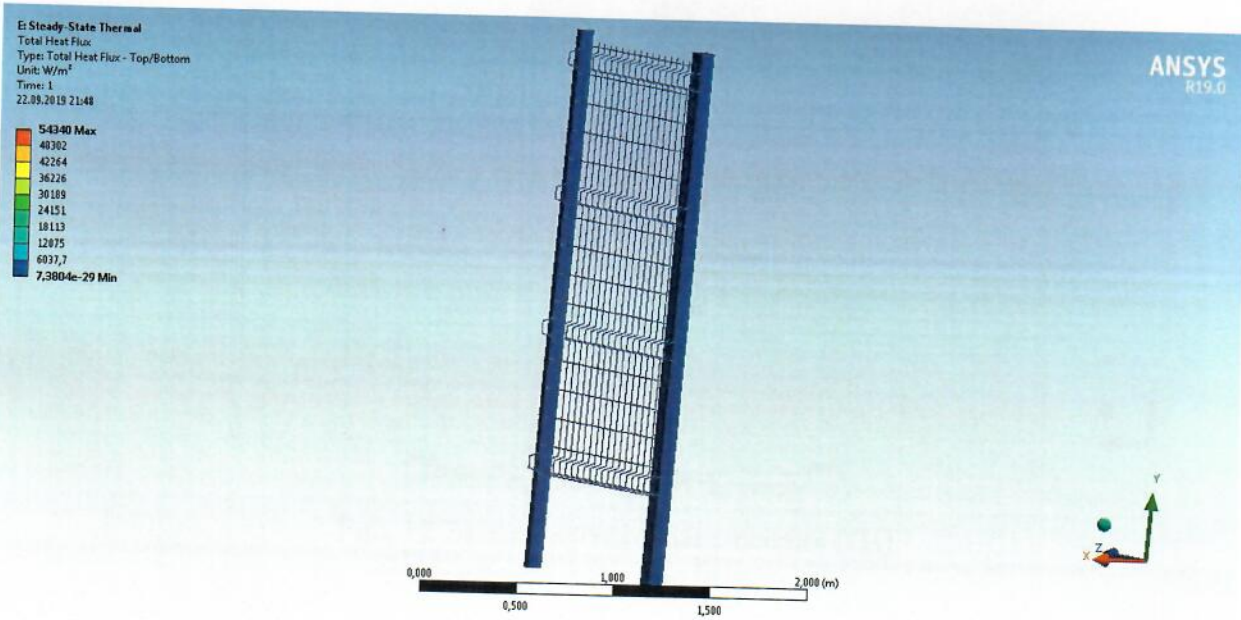


Рис. 10 Общий тепловой поток

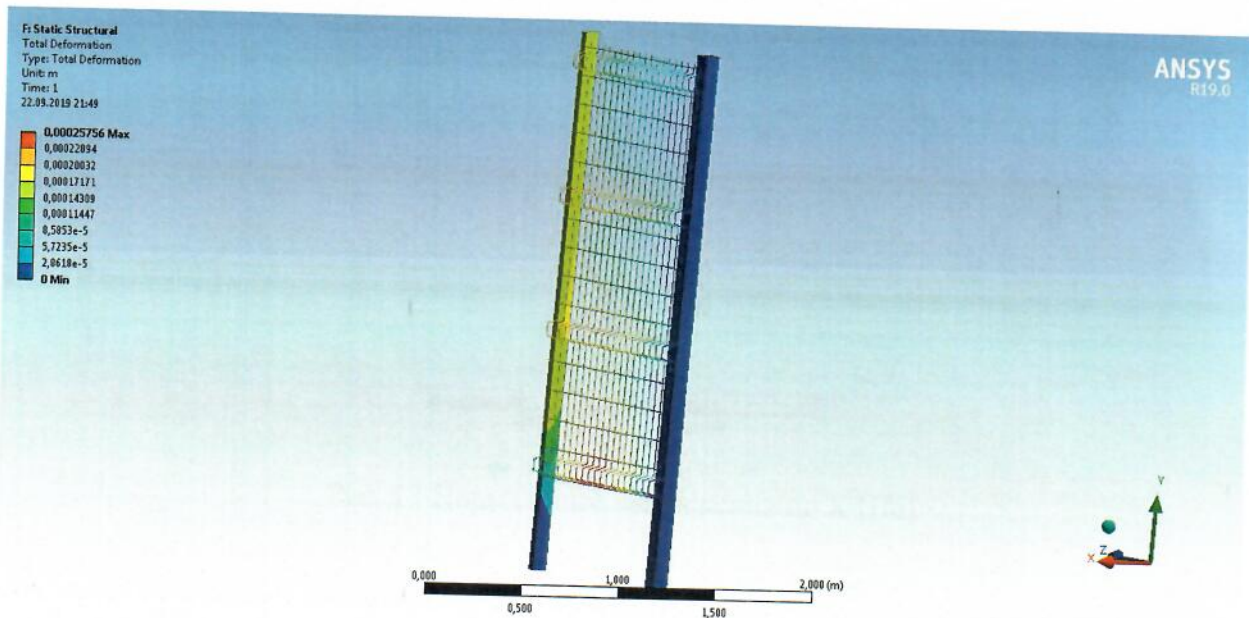


Рис. 11 Общие деформации [м]

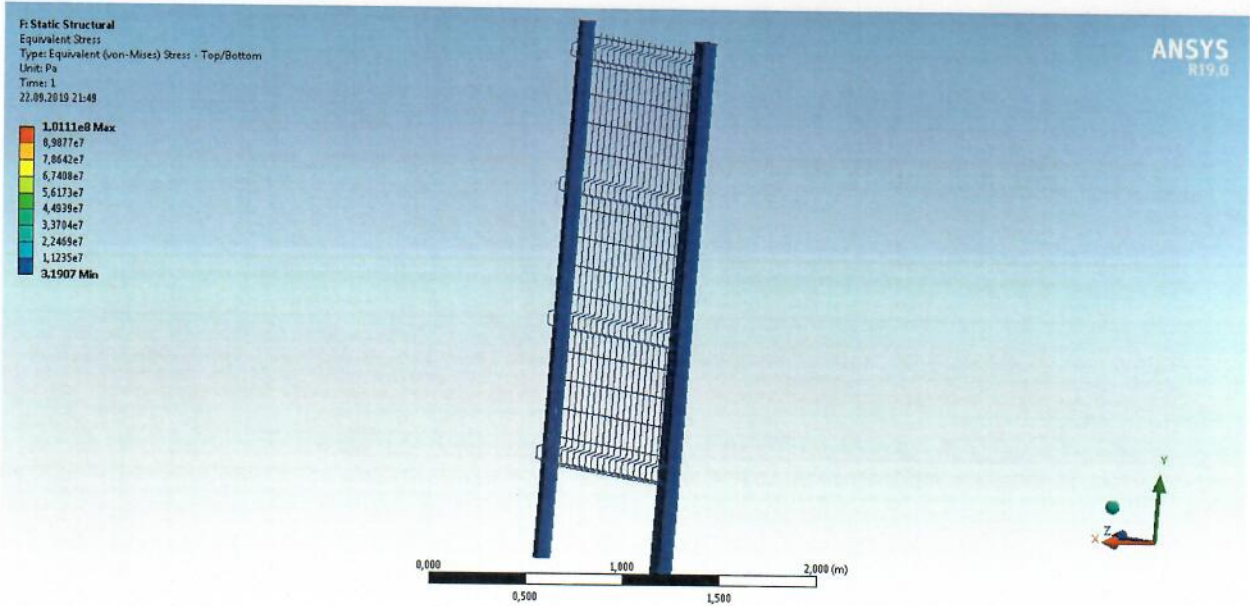


Рис. 12 Эквивалентные напряжения [Па]

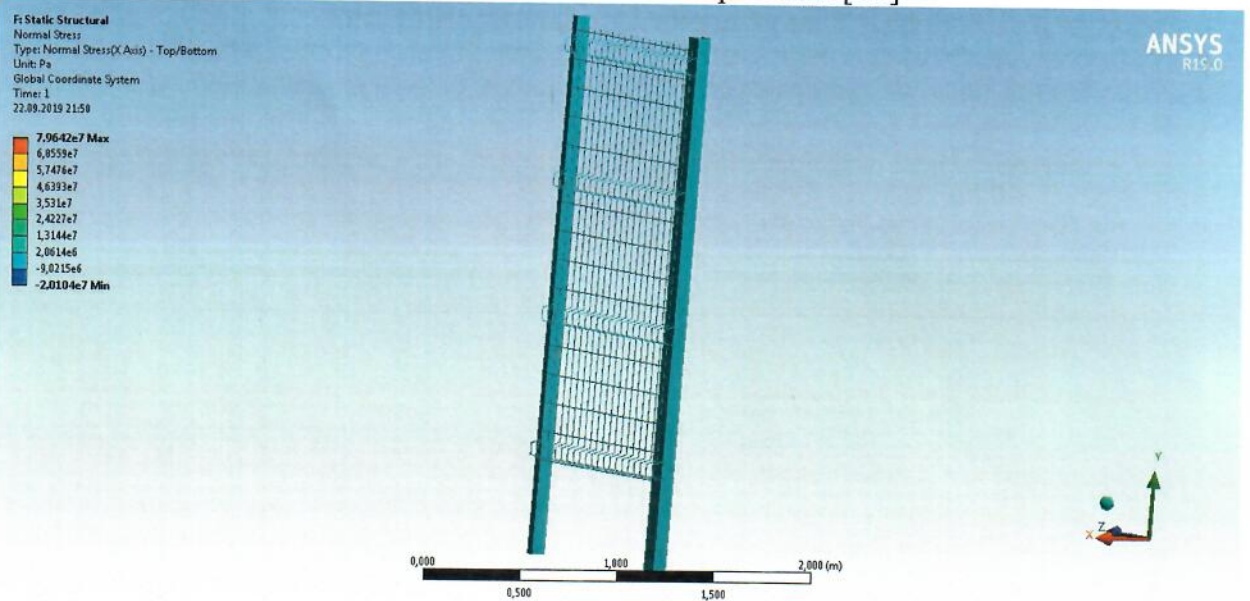


Рис. 13 Нормальные напряжения по X [Па]

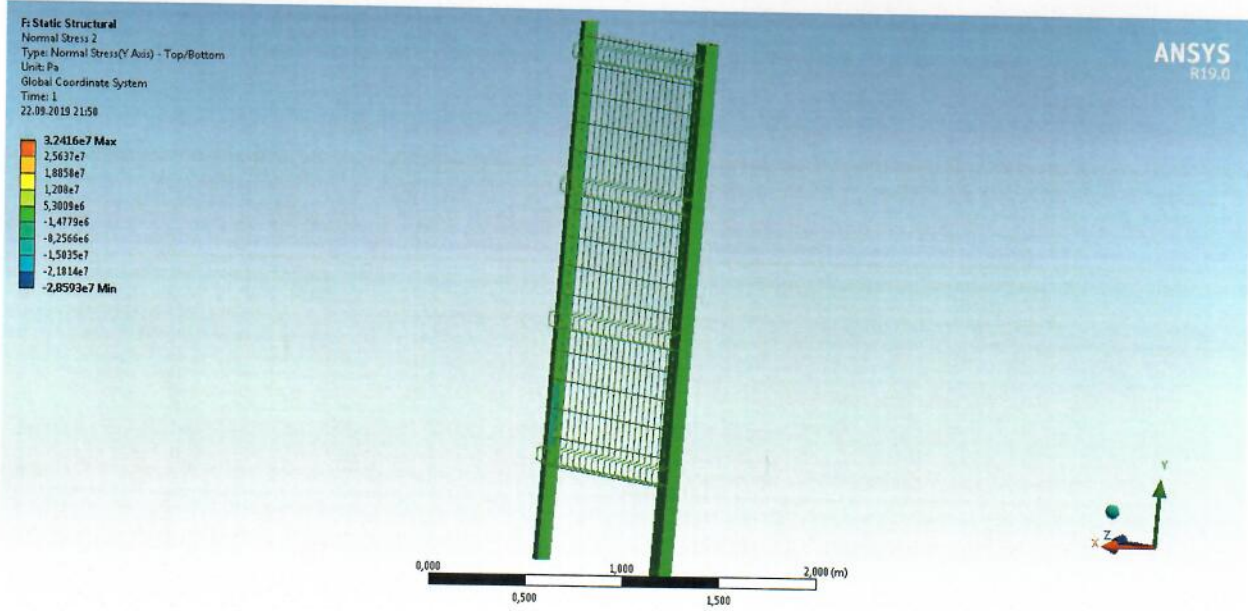


Рис. 14 Нормальные напряжения по Y [Па]

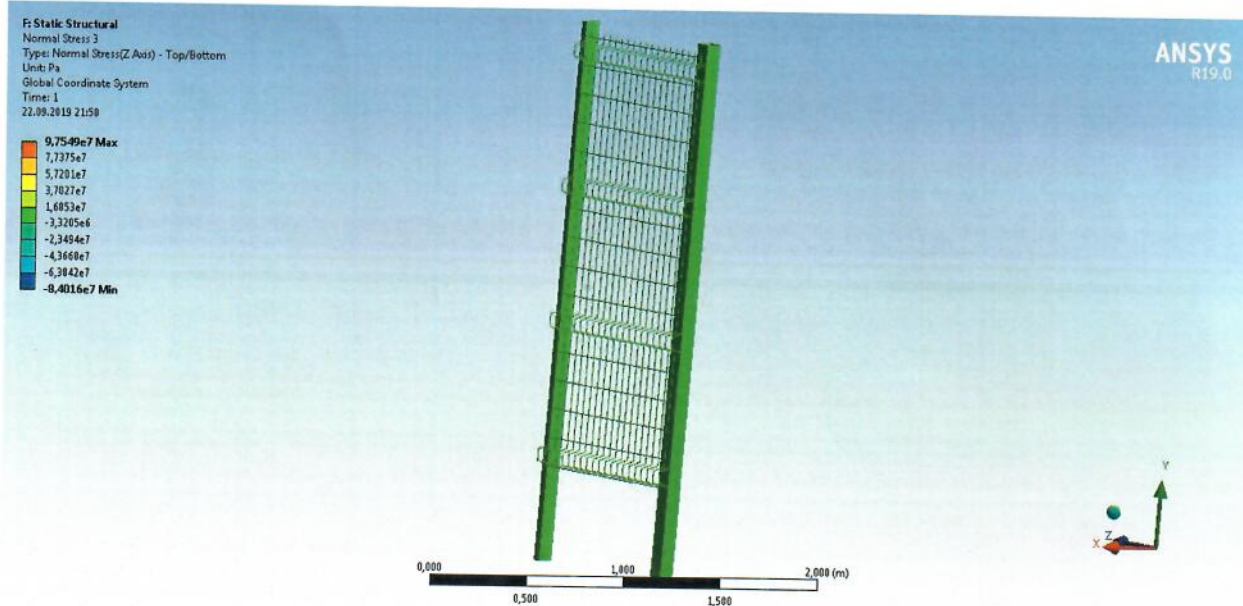


Рис. 15 Нормальные напряжения по Z [Па]

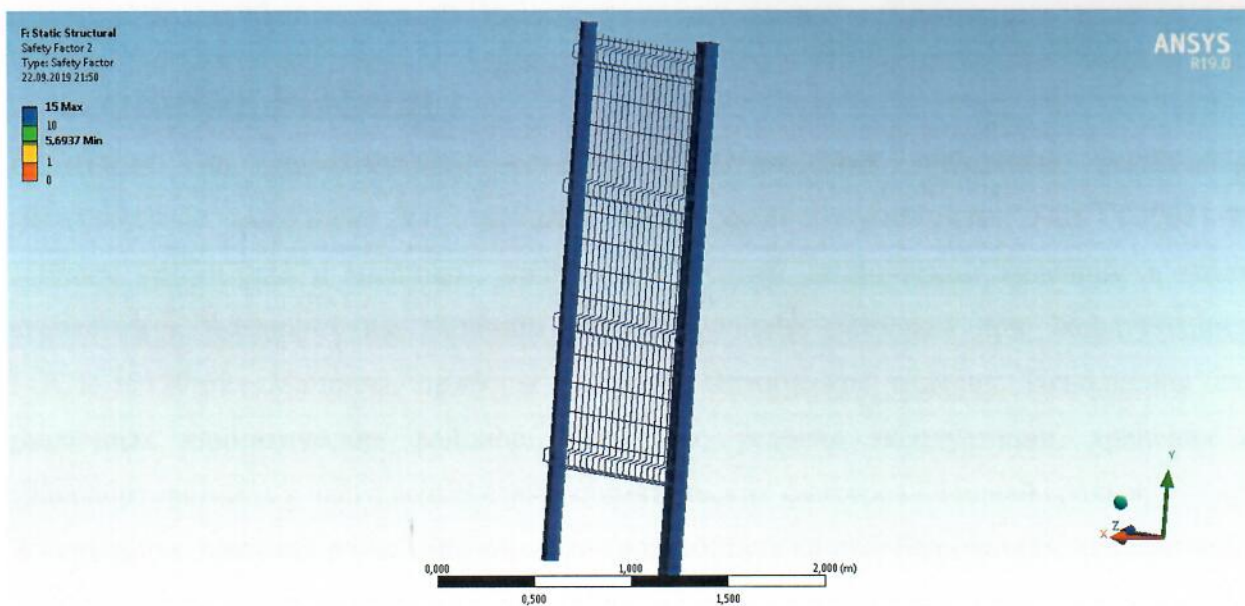


Рис. 16 Визуализация коэффициента запаса прочности

5. ОБЩИЕ ВЫВОДЫ

1. Испытание на климатическое воздействие Ограждения панельные решётчатые металлические выполнено на основании технической документации, ГОСТ 30631-99 «Общие требования к машинам, приборам и другим техническим изделиям в части стойкости к механическим внешним воздействующим факторам при эксплуатации», ГОСТ 15150-69 «Машины, приборы и другие технические изделия. Исполнения для различных климатических районов. Категории, условия эксплуатации, хранения и транспортирования в части воздействия климатических факторов внешней среды»;
2. В испытании представлены: климатическое воздействие на преобразователь, визуализация коэффициента запаса прочности;
3. На основании проведенного испытания можно сделать вывод, что прочность ограждений панельных решётчатых металлических от отрицательного (-70 $^{\circ}\text{C}$) и положительного (+45 $^{\circ}\text{C}$) климатического воздействия обеспечена.